# DDM-PMDA-HAB W唑酰亚胺共聚物的合成及其耐热性

("南京师范大学化学与环境科学学院 南京 21009% · 江苏省生物医药功能材料工程研究中心 南京; <sup>6</sup>南京大学表面和界面化学工程技术研究中心 南京)

摘 要 用 4 4-二氨基二苯基甲烷(DDM), 3 3-二羟基联苯胺(HAB), 与均苯四甲酸二酐(PMDA)在 N, N-二甲基乙酰胺中室温缩聚, 制备了 3种共聚酰胺酸(CPAA); CPAA 膜经热处理失水环化, 形成共聚酰亚胺 (CPI); 在 N, 气下经 500 ℃热处理, 重排转变为 DDM-PM DA-HAB 腳唑酰亚胺共聚物 (CPBI)。 ATR 光谱显示 了 CP1和 CPBI膜的特征结构。TGA 分析佐证了鬚唑化转变。CPB I膜均显示优良的耐热性(用质量损失 5% 时的温度  $T_a$ 表示 ),比相应的 CPI高 93~138  $^{\circ}$ ;比二元聚合物 PM DA·HAB 聚苯并龗唑 (PBO)高 65~86  $^{\circ}$ 。 廉价的 DDM 在二胺单体中所占摩尔分数为 75%时,CPBI仍保持优良的耐热性 ( $T_a$  为 573  $^{\circ}$ )。

关键词 共聚酰胺酸, 共聚酰亚胺, 屬唑酰亚胺共聚物, 聚苯并屬唑, 制备, 耐热性

中图分类号: 0634

文献标识码: A

文章编号: 1000 0518(2006) 09 1027 05

高耐热聚合物需求很大,但多因价格昂贵使应用受限。 聚苯并氯唑 (PBO)是高耐热聚合物材料,比 K ev lar纤维的强度、模量提高 1倍,并具有阻燃性、耐高温高压、抗老化和耐摩擦等性能[12],可广泛应用 于航空航天、防火服等领域[1],在高技术纤维[3]、热稳定非线性光学材料[4]、光敏材料[5]等方面也获得 了应用。

PBO 的制备方法很多[126~14]。常用的合成方法是由 4.6二氨基间苯二酚 (DAR)与对苯二甲酸 (TPA)在多聚磷酸中缩聚而成,但 DAR需多次重结晶和提纯才能达到聚合要求的纯度,且原料来源比 较困难<sup>[1]</sup>。Tulbs等<sup>[6-13]</sup>用 3 3<sup>4</sup>二羟基联苯胺 (HAB)和 3 3<sup>1</sup>,4 4<sup>4</sup>联苯四羧酸二酐 (BPDA)分步得到 PBO、虽然 HAB和 BPDA 价格也都很昂贵,但这个体系是采用二胺与二酐反应,分步缩聚和热转变生成 PBO, 可选择的单体较多, 为共聚提供了很大的余地。本文在二胺-二酐法制备 PBO 的基础上, 采用廉价 的 4, 4-二氨基二苯基甲烷 (DDM )代替部分 HAB 与均苯四甲酸二酐 (PM DA )进行共聚,合成了鬣唑酰 亚胺共聚物 (CPBI)。研究了其组成对耐热性的影响。

## 1 实验部分

### 1 1 试剂和仪器

N, N—二甲基乙酰胺 (DMAc), 化学纯试剂, 经脱水处理: 3 3-二羟基-4, 4-二氨基联苯 (HAB 97%) (日本东京化成): 4.4-二氨基二苯基甲烷(DDM,99%): 均苯四甲酸二酐(PMDA,99.5%)。

N exus670型傅立叶红外光谱仪 (美国 N ico lef公司 ), OM N 采样器 (ATR ); Peik ir E ln er TGA-7型热 分析仪 (美国), 升温速率 20.0 <sup>℃</sup> min, A r气氛围。

#### 1 2 共聚物的合成及膜的制备

参照文献[6]方法制备不同组成的 DDM-PM DA-HAB共聚酰胺酸(PAA),然后脱羧关环酰亚胺化 转变为共聚酰亚胺(CPI),再经高温热处理得 PBO-PI共聚物(benzoxazole in ile copolymer CPBI)膜。以 CPBI 04为例, 在装有电磁搅拌、温度计和  $N_2$ 气保护装置的三颈烧瓶中, 加入 0.162~2~g~HA~B~和 0.446 1 g DDM, 用 6 m L DM AC 溶解后, 分批加入 0.654 4 g PM DA, 室温下反应 7 h, 得聚酰胺酸 (CPAA

<sup>2005-10-24</sup>收稿, 2006-02-18修回

上海伊曼纺织化工有限公司资助(南京师范大学 211090B423)

04)溶液。将 CPAA 溶液涂膜, 在 60 ℃下真空干燥 1 h, 120 ℃下真空干燥 2 h, 在 N₂气下 300 ℃处理 1 h 得聚酰亚胺(CPI04)膜。在 №51 500 ℃处理 1 h,得 CPBI04膜。 在相同条件下制备了二元聚合物 PI 或 PBO。有关反应和聚合物的示意结构和组成见 Scheme 1。

PI m in (Molar ratio); PI 03 0 0 1. 0 CPI 04 0 25 0 75 CPI 05 0 50 0 50 CPI 06 0 75 0 25 PI 06 1. 0 0 0 PBO or CPBIs m 'n ( (Mohr mtio): CPBI04 0, 25 0, 75, CPBI05 0, 50:0 50, CPBI06 0, 75 0, 25, PBO 06 1, 0 0, 0

Scheme 1 Preparation routes and schematic structures of CPB Is PI and PBO

## 结果与讨论

### 2 1 红外光谱

不同组成的 PAA 经处理后所得 5种 PI膜的红外光谱归属见表 1。这些 PI样品的主要红外吸收峰 基本符合预期结构,均有 PI特征峰,即 1775~1778 cm<sup>-1</sup>和 1717~1722 cm<sup>-1</sup>的 C=O伸缩及 1369~ 1 375 cm<sup>-1</sup> C-N伸缩振动峰,表明聚酰胺酸已进行了酰亚胺化反应,生成了聚酰亚胺<sup>[14]</sup>。

表 1 聚酰亚胺的组成、红外光谱及其归属(cm<sup>-1</sup>)

Table 1 C on positions and FT IR data of (C) PIs and their A ssignment (cm<sup>-1</sup>)

	PI 03	CPI 04	CPI 05	CPI 06	P I 06
(n(PMDA) in(DDM) in(HAB))	(0.1;1)	(10 750 25)	(10.50.5)	(1 % 25 % 75)	(101)
ν <sub>C</sub> =0	1 778 1 718	1 777, 1 722	1 778 1 721	1 778 1 718	1 775 1 717
$ u_{\mathrm{C-N}}$	1 372	1 371	1 369	1 375	1 375
<b>∂</b> _C−H(1,4)	811	805	802	803	
δ <sub>=C-H(124)</sub>		841	832	847	808
$\delta = C - H(1, 2, 4, 5)$	863	870	832	880	848
$\nu_{\mathrm{C-OH}}$		1 193	1 193	1 189	1 193

<sup>\*</sup> ν and δ are the stretching and deforming vibration, respectively.

后,所得 CPB I膜的 ATR显示 PBO 特征环振动吸收峰,即  $1.602 \sim 1.611 \text{ cm}^{-1}$ 的 C<sup>—N</sup> 伸缩和  $1.062 \sim 1.097 \text{ cm}^{-1}$ 的 C<sup>—O</sup> 伸缩振动峰 (见表 2),表明这些 CPI样品连有羟基部分的链节已转变成全 型结构。同时,由于 CPI中有的链节可转变成 PBO 有的链节则不能,故红外谱图中兼有酰亚胺和半碘的特征峰。

表 2 CPBI和 PBO 的红外光谱归属( cm <sup>-1</sup>)

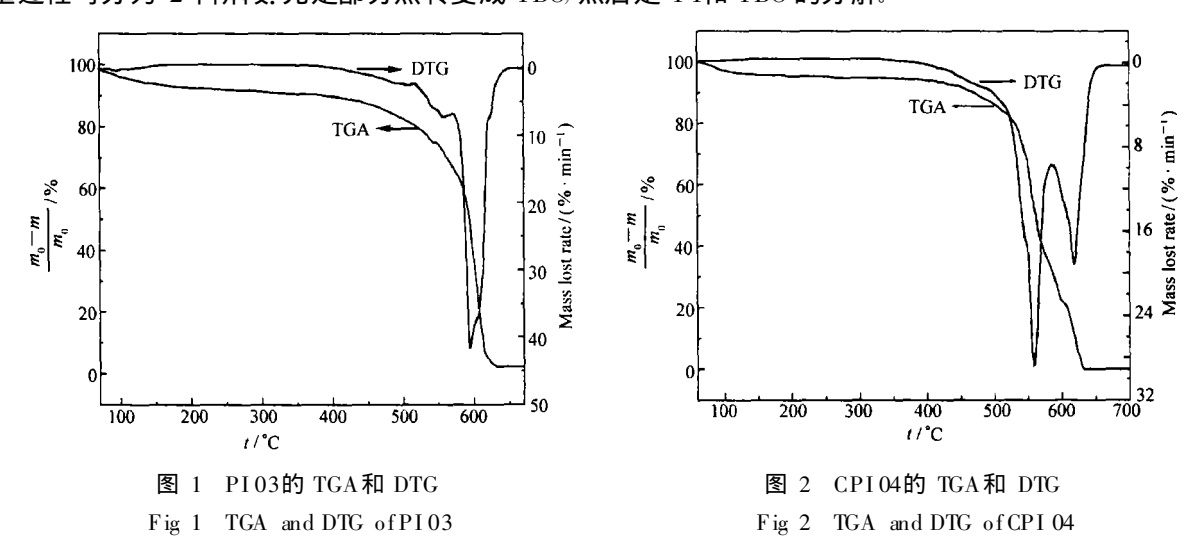
	Table 2	FT IR	assignment of CPB Is and PBO (cm	1)
--	---------	-------	----------------------------------	----

Assignm en t	CPB I 04	CPBI 05	CPB I 06	PBO 06
$\nu_{\rm C=N}$	1 604	1 607	1 603	1 602
$_{ m v_{C-O}}$	1 095	1 097	1 108	1 062

### 2 2 TG 分析

PM DA-DDM PI (PI03),DDM 没有邻位羟基, 不能热转变成 PBO。PI03有良好的耐热性, 从 470  $^{\circ}$  左右开始明显失重, TGA 曲线基本上连续变化 (DTG 曲线上的不规则小变化为仪器噪音), 在 DTG 曲线约为  $^{\circ}$  594  $^{\circ}$  上只有 1个峰 (图 1)。

HAB-PM DA-DDM 共聚物 CPI 部分链节可热转变成 PBO, 部分链节则不能。从 CPI 04到 CPI 06 随着含有羟基官能团的 HAB在二胺单体中所占的摩尔比增加, 可热转变成 PBO 部分增加, TGA 和 DTG 曲线上约 500 ℃左右 PI转变成 PBO的 DTG 峰逐渐变得明显,表明巅唑化程度增大。这些 CPI的热失重过程可分为 2个阶段: 先是部分热转变成 PBO, 然后是 PI和 PBO 的分解。



HAB 在二胺单体中所占的摩尔分数为 25%的共聚物 CPI  $04(\mathbb{Z})$  中,TGA 和 DTG 曲线上 PI转变成 PBO 的峰尚不明显,但仍能看出 TGA 曲线上约 500 <sup>©</sup>附近变化较缓慢,相应的 DTG 曲线上有 1个小的凹变。随后 DTG 曲线分为 2个峰。第 1个 DTG 峰在 557 <sup>©</sup>,峰面积较大,是 PI部分的分解;第 2个 DTG 峰,是热转变成 PBO 部分的分解,峰面积较小,与共聚物 CPI 04 的组成相符。

HAB 摩尔分数为 50%的共聚物 CPI  $05(\mathbb{Z}_3)$ ,因 HAB 含量增加,能够转变成 PBO 的链节含量增加,DTG 曲线上 PI转变成 PBO 的峰 (500 °C左右)已经很明显,在 650 ~700 °C有 1个带肩峰的较大峰,最大峰值  $T_2$ 为 671 °C, 这是共聚物中 PI部分和热转变成 PBO部分的分解。

HAB摩尔分数为 75%的共聚物 CPI 06的 TGA 图 (未出示 )与 CPI 05类似,但 HAB的含量更多,能够转变成 PBO的链节含量增加,DTG 曲线上 PI转变成 PBO 的峰 (500  $^{\circ}$ 左右 )更加明显。其后的 DTG 曲线基本上为 1个峰,是共聚物中少量 PI部分和主要的热转变成 PBO 部分的分解。

PI 06可完全 **建唑化转变成 PBO**[15] (DTG图与 CPI 05类似,图略)。

为使 PI能转变成 PBO 的部分较充分地转变, 这些 CPI膜在  $500^{\circ}$  通氮气处理 1 h 所得聚合物 (CPBI)膜的典型 TGA和 DTG 曲线 (以 CPBI 05 为例 )如图 4 所示。主要的热分析结果列于表 3

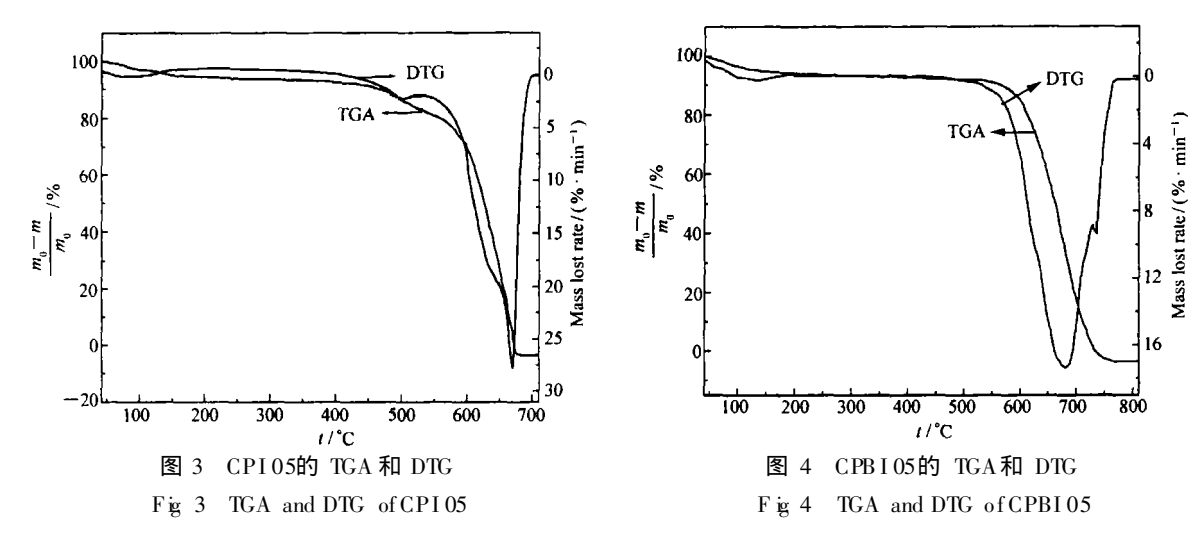


表 3 CPI和 CPBI的热稳定性

Table 3 Thermal stability of CPIs and CPBIs

n(PMDA) $n(DD$	M ) : (HAR)	1 :1 :0	1 0 75 0 25	1 0. 5 0. 5	1 0 25 0 75	101
, , ,						
CPI or	· PI	PI 03	CPI 04	CPI 05	CPI 06	P I 06
CPB I or	PBO	-	CPB I 04	CPB I 05	CPB I 06	PBO 06
CPI or PI	$T_{ m d}$ /C $^a$	473	459	483	456	404
	$T_1$ / $\mathbb{C}^b$	594	557	494	512	480
	$T_2$ /C $^c$	_	616	671	630	552
CPB I or PBO	$T_{ m d}$ /C $^d$	-	573	576	594	508
	$T_3$ / $\mathbb{C}^e$	-	638	681	680	615

a. the temperature at which the mass loss on TGA for PI is 5%; h the 1st DTG peak temperature of CPI or PI film; c the 2nd major DTG peak temperature of CPI or PI film; d the temperature at which the mass loss of CPBI or PBO on TGA is 5%; e the DTG peak temperature of CPBI or PBO film.

由图 4可见,CPBI05的 DTG 曲线基本上只有 1个峰,原来 CPI 05在 500  $^{\mathbb{C}}$ 左右重排成 $^{\mathbb{H}}$  唑的 DTG 峰消失了。表明 500  $^{\mathbb{C}}$ 热处理后 CPI中能转变成 PBO 的部分已转变成 PBO。CPBI 05在 630  $^{\mathbb{C}}$ 之间有 1个 DTG 单峰,峰值温度  $T_3$ 为 681  $^{\mathbb{C}}$ ,与 CPI 05的 DTG 峰值  $T_2$  (671  $^{\mathbb{C}}$ )基本一致。这说明,在 TGA测试条件下,CPI 05可发生 $^{\mathbb{H}}$  唑化转变的链节有较好的转变。

可用失重 5%时的温度  $T_0$ 来比较聚合物的耐热性 $[6^{-15}]$ 。由表 3可见,CPB I的耐热性明显高于同系 PI聚合物。还可看到,所有三元共聚物的  $T_0$ 均高于其相应的二元共聚物。

对于可能发生热转变的聚合物来说,尤其当热转变温度与分解温度比较接近时, $T_a$ 不能真正反映其耐热性。比如,CPI05和 CPBI05的  $T_a$ 有显著差异。因为 CPI05在 TGA测试过程中发生了分子结构转变,造成部分失重,导致  $T_a$ 较低,而不是真正的分解。而 CPBI05经过 500  $^{\circ}$ 处理 1 h后,发生了分子结构转变和部分失重,故  $T_a$ 比较高。因此把  $T_a$ 和 TGA 曲线、DTG 曲线结合起来考虑,比较耐热性,也许更合理些。例如,CPI05的 TGA 曲线从 500  $^{\circ}$ 左右即开始分解失重,经过一个缓慢失重的热转变过程后,开始快速失重,到 680  $^{\circ}$ C左右完全分解。而 CPBI05的 TGA 曲线从 560  $^{\circ}$ C左右开始明显失重,直到 750  $^{\circ}$ C左右才完全分解。如果在 TGA 测试条件下 CPI05可以充分地发生影唑化转变,二者的完全分解温度应该一致。但在 TGA 测试过程中,CPI05可发生影唑化转变的链节在转变仍不够充分时就开始分解。将 CPI05在 500  $^{\circ}$ 处理 1 h 有助于使连有羟基的链节较充分地转化为 CPI050。

用廉价的 DDM 代替部分 HAB与 PMDA 所得 CPB I具有优良的耐热性,并优于二元 PI和 PBO。 CPB中,DDM 在二胺单体中所占的摩尔分数,可以高达  $50\% \sim 75\%$ ,而依然保持优良的耐热性。

### 参考 文献

学报)[ ]], 2003 31(1): 82

- 2 Hasegav a M, Kobaya shi J V ladin irov L J Photopolymer Sci Tech [J], 2004 17(2): 253
- 3 X A Yan Zhi(夏延致), Q IM ing Zheng(綦名正), JI Quan(纪全), et al J Qingdao Univ(青岛大学化学学报)[J], 2002 15(4); 21
- 4 Park K H, Song S Lee Y S et al Polym J[ ], 1998 30(6): 470
- 5 Ueda M, Ebara K, Shibasak i Y. J Photopolymer Sci Tech [J], 2003 16(2): 237
- 6 Tulbs G L, Mahas L J Polymer J, 1999 (40): 3 463
- 7 H siao S H H uang Y-H. Eur Polym J[ J], 2004 40(6): 1 127
- 8 HAN ZheWen(韩哲文), LU Zhi Bao(陆志豹), SH IX iao Yang(石晓阳), et al Acta Polym Sin(高分子学报)[J], 1997, (2): 141
- 9 ZHANG Churr Yan(张春燕), SHI Z-iX ing(史子兴), ZHU Z-iK ang(朱子康), et al Chorn J Chinese Univ(高 等学校化学学报)[], 2004 25(3): 556
- 10 LI Jim H uan(李金焕), HUANG Yur Dong(黄玉东), XU Hu (许辉). Polym Mater Sci Eng(高分子材料科学与 工程) [ ]], 2003 19(6): 46
- 11 Fukukawa K, Shibasaki Y, Ueda M. Macromolecu les J, 2004 37 (22): 8 256
- 12 Fukukawa K- I Shibasaki Y, Ueda M. Polymer J[J], 2004 36(6): 489
- 13 TulbsG I, Powers JM, Jeskey S J et al Macron olecules J, 1999 32(11): 3598
- 14 KE Yi Kan(柯以侃) Chief Edr(主编). Handbook of Analytical Chemistry(分析化学手册) [M], Third Portion(第 3分 册), Spectroscopic Analysis9(光谱分析). Beijing(北京): Chemical Industry Press(化学工业出版社), 1998
- 15 Guzman Lucero D. Likhatchev D. Polymer Bull J., 2002, 48(3): 261

# Preparation and Heat Resistance of DDM-PMDA-HAB Benzoxazole Im ide Copolymers

GAO Yuan<sup>a b</sup>, ZHANG Mao Gen<sup>a, b \*</sup>, WANG Bing Xiang<sup>a b</sup>, SHEN Jian<sup>a b c</sup>

(<sup>a</sup> School of Chan istry and Environmental Science Nanjing Normal University, Nanjing 210097; <sup>b</sup> Jiangsu Provincial Engineering Research Center of Biomedical Functional Materials, Nanjing;

Research Center of Surface and Interface Chan istry and Engineering Technology, Nanjing University, Nanjing)

**Abstract** Three poly (amic acid) copolymers (CPAAs) were synthesized from 4 4'-diamino diphenyl methane (DDM), 3 3'-dihydroxy-4 4'-diamino-biphenyl (HAB) and pyromellitic dianhydride (PMDA) by condensation in N, N-dimethylace tamide at room temperature. The mal cyclode hydration of CPAA cast films led to the formation of copolymides (CPIs), which were rearranged to DDM-PMDA-HAB benzoxazole in ide copolymers (CPBIs) by further the mal treatment at 500°C under nitrogen. ATR spectra showed the characteristic structure of CPIs and CPBIs. TGA analysis confirmed the rearrangement to the formation of Polybenzoxazoles (PBOs). All the CPBI films displayed excellent the mal stability, shown by  $T_{\rm d}$  the temperature at which the mass loss of the polymer is 5%.  $T_{\rm d}$  values of CPBI films are 93 ~138°C higher than that of corresponding CPIs and 65 ~86°C higher than that of PMDA-HAB PBO. The molar ratio of cheap DDM among diam in escan increase up to 75%, while the CPBIs still have the excellent heat resistance ( $T_{\rm d}$  is 573°C).

**Keywords** poly (am ic acid) copolymer (CPAA), copolymides (CPI), benzoxazole in ide copolymers (CPBI), polybenzoxazole (PBO), preparation, heat resistance